



# Brazilian Journal of OTORHINOLARYNGOLOGY

[www.bjorl.org](http://www.bjorl.org)



## ARTIGO ORIGINAL

# A função da MMP-2 e MMP-9 na metástase e no desenvolvimento de carcinoma hipofaríngeo<sup>☆</sup>

Zhe Song <sup>a</sup>, Junfu Wang <sup>b</sup>, Qinghong Su <sup>b</sup>, Meng Luan <sup>b</sup>, Xuemei Chen <sup>b,\*</sup> e Xiaoqun Xu <sup>b,\*</sup>

<sup>a</sup> Yantai Central Blood Station, Yantai, China

<sup>b</sup> Shandong Provincial Hospital, Shandong First Medical University, Jinan, China

Recebido em 23 de abril de 2019; aceito em 28 de outubro de 2019

## PALAVRAS-CHAVE

Carcinoma  
hipofaríngeo;  
Metaloproteinase-  
2 da matriz (MMP-2);  
Metaloproteinase-  
9 da matriz  
(MMP-9)

## Resumo

**Introdução:** A função da metaloproteinase da matriz 2 e 9 nas metástases e no desenvolvimento de carcinoma hipofaríngeo ainda não foi esclarecida.

**Objetivos:** Observar a relação entre a metaloproteinase da matriz 2 e 9 e as metástases e o desenvolvimento de carcinoma hipofaríngeo.

**Método:** Este estudo incluiu 42 pacientes com câncer hipofaríngeo. Os níveis de expressão de mRNA e proteína de metaloproteinase da matriz 2 e 9 no carcinoma hipofaríngeo e nos tecidos paracancerígenos foram detectados por reação em cadeia da polimerase com transcrição reversa e *Western blot*.

**Resultados:** A detecção por reação em cadeia da polimerase com transcrição reversa mostrou que o mRNA de metaloproteinase da matriz 2 e 9 foi expresso nos tecidos cancerígenos e do pericarcinoma, mas quase não foi expresso em tecidos de controle polipoides. A intensidade da expressão no tecido cancerígeno foi significativamente maior do que no tecido do pericarcinoma (metaloproteinase da matriz 2:  $t=2,529$ ,  $p=0,015$ ; metaloproteinase da matriz 9:  $t=4,781$ ,  $p=0,001$ ). A expressão do mRNA no tecido cancerígeno aumentou com o aumento do estágio clínico do tumor (metaloproteinase da matriz 2:  $F=4,003$ ,  $p=0,026$ ; metaloproteinase da matriz 9:  $F=5,501$ ,  $p=0,008$ ). Sua intensidade de expressão foi associada à metástase de linfonodos (estadiamento N) e aumentou com o grau de metástase linfática (metaloproteinase da matriz 2:  $F=8,965$ ,  $p=0,005$ ; metaloproteinase da matriz 9:  $F=5,420$ ,  $p=0,025$ ). Não houve alteração significativa no estadiamento T do tumor. Com o aumento do estágio patológico do tumor, a expressão do mRNA de metaloproteinase da

DOI se refere ao artigo: <https://doi.org/10.1016/j.bjorl.2019.10.009>

<sup>☆</sup> Como citar este artigo: Song Z, Wang J, Su Q, Luan M, Chen X, Xu X. The role of MMP-2 and MMP-9 in the metastasis and development of hypopharyngeal carcinoma. Braz J Otorhinolaryngol. 2021;87:521–8.

\* Autores para correspondência.

E-mails: [chxmsd@163.com](mailto:chxmsd@163.com) (X. Chen), [xuxiaoqunsd@163.com](mailto:xuxiaoqunsd@163.com) (X. Xu).

A revisão por pares é da responsabilidade da Associação Brasileira de Otorrinolaringologia e Cirurgia Cérvico-Facial.

matriz 2 e 9 foi aumentada (metaloproteinase da matriz 2:  $F = 3,884$ ,  $p = 0,029$ ; metaloproteinase da matriz 9:  $F = 3,783$ ,  $p = 0,032$ ). O nível de expressão proteica da MMP-2 e MMP-9 foi o mesmo do que o do mRNA.

**Conclusão:** A expressão de metaloproteinase da matriz 2 e 9 no carcinoma hipofaríngeo foi significativamente maior do que a do tecido do pericarcinoma e se ampliou com o aumento do estágio clínico. O nível de expressão foi relacionado à metástase linfonodal e ao estágio patológico do tumor. Assim, a metaloproteinase da matriz 2 e 9 pode estar envolvida na ocorrência, no desenvolvimento, na invasão e metástase de carcinoma hipofaríngeo por meio de vários mecanismos.

© 2019 Associação Brasileira de Otorrinolaringologia e Cirurgia Cérvico-Facial. Publicado por Elsevier Editora Ltda. Este é um artigo Open Access sob uma licença CC BY (<http://creativecommons.org/licenses/by/4.0/>).

## Introdução

O tumor de cabeça e pescoço é um dos principais cânceres que colocam em risco a saúde humana, é classificado como o 10º tipo de câncer mais comum no mundo.<sup>1</sup> O carcinoma hipofaríngeo é um dos tipos mais comuns de tumores de cabeça e pescoço, permanece como uma doença altamente letal e uma séria ameaça à vida humana. Apesar dos avanços no diagnóstico e tratamento do câncer hipofaríngeo, inclusive cirurgia, radioterapia e quimioterapia, o prognóstico ainda não é o ideal.<sup>2,3</sup>

Nesse contexto, a invasão e as metástases do câncer hipofaríngeo, como a maioria dos cânceres humanos, contribuem muito para a mortalidade relacionada a essa doença. A invasão tumoral e as metástases são um processo complexo e contínuo que envolve vários estágios e diversas moléculas, especialmente as metaloproteinases de matriz (MMPs).<sup>4</sup> As metaloproteinases de matriz (MMPs), que representam a família de proteinases mais relevante associada à tumorigênese, são uma família de endopeptidases dependentes de zinco.<sup>5</sup> A degradação da membrana basal e da matriz extracelular (MEC) pelas MMPs facilita a invasão e proliferação de células tumorais no ambiente metastático.<sup>6</sup> A membrana basal e a MEC, por um lado, fornecem substratos e nutrição para o crescimento e metástase de tumores; por outro lado, representam grandes bloqueios na prevenção de invasão e metástase de células tumorais.<sup>7</sup> Durante a degradação da MEC e da membrana basal, as MMPs são as enzimas mais importantes e desempenham um papel fundamental nesse processo de degradação. A expressão e a ativação das MMPs também estão envolvidas em vários eventos fisiológicos e patológicos, como inflamação, fibrose tecidual, angiogênese, invasão e metástase tumoral. Especificamente, as MMPs degradam seletivamente diferentes componentes da MEC<sup>8</sup> e, assim, regulam numerosos eventos biológicos, inclusive crescimento celular, inflamação, invasão e angiogênese, eliminam proteínas da superfície celular, como o receptor de citocinas, moléculas de adesão celular e receptores de uroquinase.<sup>5,9,10</sup> Entre todos os membros das MMPs, foi relatado que a MMP-2 e a MMP-9 se correlacionam com a metástase tumoral.<sup>11,12</sup>

No presente estudo, as expressões de mRNA e das proteínas de MMP-2 e MMP-9 foram analisadas no nível do tecido por reação em cadeia da polimerase com transcrição reversa (RT-PCR, *Reverse Transcription Polymerase Chain*

*Reactions*) e análise de *western blot* para investigar a função e o significado clínico da MMP-2 e MMP-9 no carcinoma hipofaríngeo e seu envolvimento na patogênese e metástase desse carcinoma.

## Método

### Pacientes e amostras

O presente estudo incluiu 42 pacientes com média de  $59,45 \pm 8,36$  anos (variação de 47 a 78) diagnosticados histologicamente com carcinoma hipofaríngeo e 8 pacientes com pólipos de pregas vocais, com média de  $55,68 \pm 8,27$  anos (variação, 48–75), que serviram como controles pareados por idade e gênero. O estadiamento do tumor foi determinado de acordo com o American Joint Committee on Cancer (AJCC) e a classificação *Tumor-Node Metastasis* (TNM). Nenhum paciente recebeu quimioterapia, radioterapia ou imunoterapia nos 2 meses anteriores à cirurgia. Foram excluídos pacientes com outras doenças crônicas, como tuberculose, diabetes, doenças autoimunes ou outros tumores malignos. Os tecidos cancerígenos e os pré-cancerígenos foram identificados por estereoscopia e corte pós-congelamento rápido. Dois pedaços de tecidos foram coletados e congelados rapidamente para extração de RNA e preparação de proteínas. Da mesma forma, controles normais que apresentaram febre ou infecção viral na última semana, gravidez ou acidente recente também foram excluídos do estudo. O protocolo foi aprovado pelo comitê de ética do Institute of Basic Medicine da Shandong Academy of Medical Sciences e todos os participantes assinaram o termo de consentimento livre e esclarecido. Amostras representativas de tumores e de tecidos de controle normais foram coletadas na cirurgia, congeladas imediatamente em tubos Eppendorf e armazenadas a  $-80^{\circ}\text{C}$  para evitar a degradação de RNA e proteínas até o corte para análise por RT-PCR e *western blot*.

### Reagente principal

O kit de extração de RNA total foi adquirido da Transgen Biotech Company (Pequim, China). A transcriptase reversa M-MLV e a polimerase Taq DNA foram adquiridas da Promega Corporation (Madison, WI, EUA). Os primers de PCR para a

**Tabela 1** Sequência de primers de MMP-2, MMP-9 e β-actina para RT-PCR

Gene alvo	Sequência de oligonucleotídeos	Tamanho do produto (pb)
MMP-2	(F) 5' TTGGCAGTGCAATACCTGAA 3' (R) 5' GAGTCCGTCTTACCGTCAA 3'	425
MMP-9	(F) 5' CATCGTCATCCAGTTGGT 3' (R) 5' CAGAAGCCCCACTTCTTGTC 3'	669
β-actina	(F) 5' GTGGCGCCCAGGCACCA 3' (R) 5' CTCCTTAATGTCACGCACGATT 3'	539

MMP, metaloproteínases da matriz; F, primer forward; R, primer reverse.

detecção do mRNA da MMP-2, MMP-9 e β-actina foram projetados com o Oligo Primer Analysis Software, versão 5.0 (NBA, Software and Research Services for Tomorrow's Discoveries, National Biosciences, Plymouth, MN, EUA). Os oligômeros de PCR foram sintetizados por um sintetizador de DNA/RNA (Applied Biosystems) na BioSune Biological Technology Corporation, Xangai, China. As sequências de primers estão listadas na **tabela 1**. O anticorpo monoclonal de coelho anti-MMP-2 e o anticorpo policlonal de coelho anti-MMP-9 foram adquiridos na Abcam Company (Cambridge, Inglaterra). O anticorpo policlonal de coelho antiactina foi adquirido da Santa Cruz Biotechnology, Inc. (Santa Cruz, CA, EUA). O IgG de cabra anticoelho marcado com peroxidase de rábano silvestre foi comprado da Beijing Zhongshan Golden Bridge Biotechnology Co., Ltd. (Pequim, China).

### Reação em cadeia da polimerase com transcrição reversa (RT-PCR)

O método RT-PCR foi descrito brevemente. O RNA foi extraído dos tecidos com o método de guanidina tiocianato-fenol-clorofórmio. A qualidade do rendimento de RNA foi avaliada por eletroforese em gel de agarose a 1,5% em tampão Tris/Borato/EDTA a 0,5 mol/L. A densidade óptica das amostras de RNA foi medida e as amostras que mostraram uma razão A260/A280 de  $1,8 \pm 2,0$  foram usadas para obter o cDNA. A RT-PCR foi feita com um kit de RNA PCR (Perkin Elmer, Norwalk, CT, EUA). A intensidade relativa (IR) de cada banda foi determinada de acordo com a seguinte equação: IR = a densidade da soma do gene alvo/a densidade da soma da β actina. Para excluir a possibilidade de contaminação, as reações que continham reagentes de RT-PCR, inclusive primers de citocina-PCR sem RNA da amostra, foram usadas como grupos de controle negativo.

### Ensaio de western blot

A SDS PAGE e o ensaio de immunoblotting (*western blot*) foram feitos de acordo com as técnicas-padrão. Resumidamente, os tecidos preparados (100 mg) foram lisados a 4 μ por 30 min em tampão de lise (Beijing Leagene Biotech. Co, Ltd, Beijing, China). Os lisados foram centrifugados a 15.000 rpm por 20 min a 4 μ para remover núcleos e tecidos não lisados. A concentração de proteína foi determinada com a solução para ensaio de proteína Bio Rad (Bio-Rad Laboratories, Inc., Hercules, CA, EUA) com albumina de soro bovino como padrão.<sup>13</sup> As amostras de proteína foram fervidas por 10 min e carregadas em um gel de SDS PAGE a 10%,

seguido de eletroforese por 2 h. As proteínas foram transferidas por eletroforese para uma membrana de nitrocelulose de 0,22 μm. A membrana de nitrocelulose foi bloqueada com leite desnatado a 5% à temperatura ambiente por 1 h e submetida a *immunoblotting* com anticorpos monoclonais de coelho anti-MMP-2 humano, anticorpos policloniais de coelho anti-MMP-9 humano e anticorpos primários de β-actina. Após a membrana ter sido lavada três vezes em intervalos de 5 min em PBS-T, foi incubada com IgG-HRP de cabra anticoelho diluída a 1:2000 por 1 h em temperatura ambiente. Após a membrana ter sido lavada três vezes a intervalos de 5 minutos em PBS-T, os *immunoblots* foram então visualizados com o equipamento LAS4000 *Chemiluminescence Imager* (Fujifilm, Tóquio, Japão) com o software associado. Para apresentação, os *immunoblots* foram abertos no PhotoShop CS2 (Adobe Systems, Mountain View, CA, EUA).

### Análise estatística

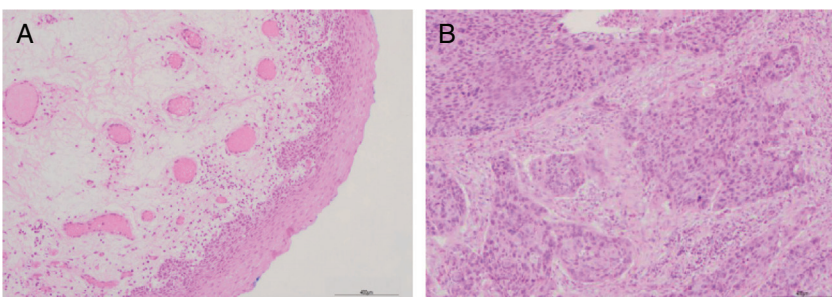
Para determinar os níveis de MMP-2 e MMP-9 no carcinoma hipofaríngeo, a análise dos dados foi feita com o software estatístico SPSS 17.0 (SPSS, Inc., Chicago, IL, EUA). Os dados foram apresentados como média ± desvio-

padrão. O teste *t* de amostras pareadas foi usado para comparar as diferenças entre os tecidos do carcinoma hipofaríngeo e do pericarcinoma. A análise de variância *one-way* foi usada para comparar as diferenças entre os grupos em diferentes estágios clínicos, metástase linfonodal e estágio patológico do tumor. Considerou-se  $p < 0,05$  para indicar diferença estatisticamente significante.

### Resultados

#### Características clínico-patológicas do paciente

A **tabela 2** mostra as características descritivas dos indivíduos do estudo, que incluem 42 pacientes com carcinoma hipofaríngeo e média de  $59,45 \pm 8,36$  anos (47 a 78) e 8 pacientes com pólipos de pregas vocais com média de  $55,68 \pm 8,27$  anos (48 a 75). Dos 42 pacientes com carcinoma hipofaríngeo, 38 (90,48%) eram do sexo masculino e apenas 4 (9,52%) do feminino, com razão de homens para mulheres de até 9,5. De acordo com a classificação TNM, a maioria dos pacientes apresentou tumores grandes (T3 + T4; 64,28%) e comprometimento linfonodal (N+; 66,67%). A maioria dos pacientes apresentou doença em estágio avançado (estágio III + IV; 80,95%), enquanto 19,05% apresentaram câncer em estágio inicial (estágio I + II). Todos os pacientes foram



**Figura 1** Resultados histopatológicos de pacientes com carcinoma hipofaríngeo (coloração H&E, a barra da escala é de 400 µm). A, tecido de pericarcinoma; B, tecido de carcinoma.

**Tabela 2** Características clínico-patológicas dos sujeitos do estudo

Características	Nº (%)	
	Pacientes	Controles
<i>Idade (anos)</i>		
Variação	47–78	48–75
Média ± DP	59,45 ± 8,36	55,68 ± 8,27
<i>Sexo</i>		
Masculino	38 (90,48)	7
Feminino	4 (9,52)	1
<i>Tamanho do tumor</i>		
T1 + T2	15 (35,72)	
T3	23 (54,76)	
T4	4 (9,52)	
<i>Envolvimento linfonodal</i>		
N0	14 (33,33)	
N+	28 (66,67)	
<i>Classificação patológica</i>		
Carcinoma espinocelular	42 (100,0)	
<i>Classificação histológica</i>		
Bem diferenciado	12 (28,57)	
Moderadamente diferenciado	14 (33,33)	
Pouco diferenciado	16 (38,10)	
<i>Estágio clínico</i>		
I + II	8 (19,05)	
III	19 (45,24)	
IV	15 (35,71)	

diagnosticados patologicamente com carcinoma espinocelular (fig. 1). Histologicamente, 71,43% dos pacientes apresentaram tumores pouco ou moderadamente diferenciados.

### Maior expressão de MMPS no carcinoma hipofaríngeo

Preparou-se o RNA total de 84 amostras de tecidos frescos obtidos de pacientes com carcinoma hipofaríngeo e 8 amostras de tecidos das pregas vocais obtidos dos pacientes com pólipos de pregas vocais. Os perfis de expressão de mRNA dos tecidos acima mencionados foram analisados por RT-PCR. Para excluir a possibilidade de contaminação por transferência, as reações que continham todos os reagentes

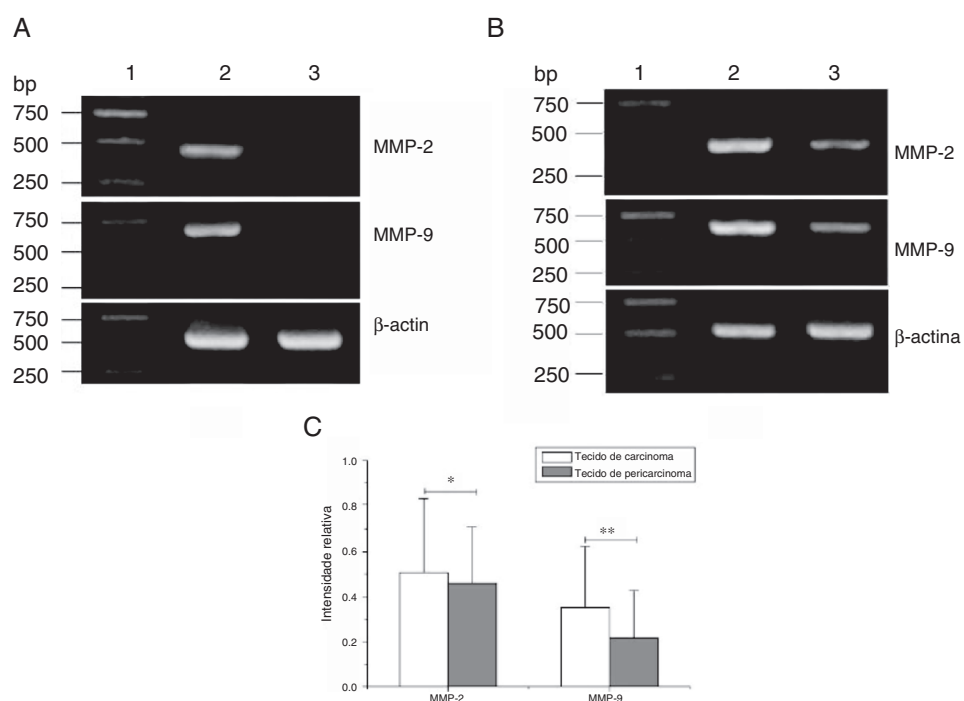
de RT-PCR, inclusive os primers de citocina PCR sem RNA da amostra, foram usadas como controles negativos. Nenhuma contaminação foi detectada. Foram analisadas as expressões de mRNA de MMP-2 e MMP-9 nos tecidos. A capacidade de expressão (medida como Intensidade Relativa [IR]/proporção de β-actina) dos pacientes para MMP-2 e MMP-9 foi maior nos tecidos do carcinoma hipofaríngeo do que nos tecidos do pericarcinoma. Não houve expressão de mRNA de MMP-2 e MMP-9 nos pólipos de tecidos das pregas vocais (fig. 2). Nos 42 pacientes, 37 tecidos cancerígenos (88,1%) e 34 tecidos de pericarcinoma (81,0%) expressaram mRNA de MMP-2 (IR  $0,509 \pm 0,319$  e  $0,353 \pm 0,268$ , respectivamente;  $t = 2,529$ ,  $p = 0,015$ ); e 35 tecidos de cancerígenos (83,3%) e 30 tecidos de pericarcinoma (71,4%) expressaram mRNA de MMP-9 (IR  $0,461 \pm 0,249$  e  $0,218 \pm 0,208$ , respectivamente;  $t = 4,781$ ,  $p < 0,001$ ). Os tecidos cancerígenos exibiram uma expressão de mRNA com nível mais alto de MMP-2 e MMP-9 do que os tecidos de pericarcinoma, e essa diferença foi estatisticamente significante.

### Expressão de MMPS com estadiamento tumoral

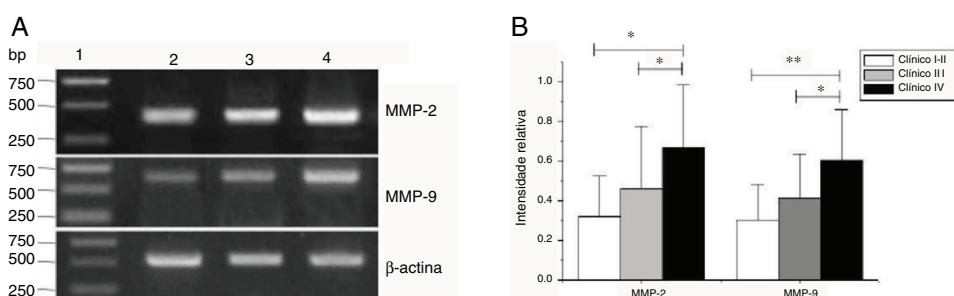
As expressões de mRNA de MMP-2 e MMP-9 foram maiores nos tumores com estágios clínicos mais avançados (MMP-2:  $F = 4,003$ ,  $p = 0,026$ , MMP-9:  $F = 5,501$ ,  $p = 0,008$ ). Especialmente no estágio IV, eram claramente maiores do que nos estágios I + II (fig. 3). Sua intensidade de expressão estava associada à metástase dos linfonodos (estadiamento N) e aumentou com o maior grau de metástase linfática (MMP-2:  $F = 4,584$ ,  $p = 0,016$ ; MMP-9:  $F = 4,643$ ,  $p = 0,006$ ) (fig. 4). A expressão de MMP-2 e MMP-9 nos tecidos cancerígenos aumentou com o avanço do estágio histopatológico do tumor (MMP-2:  $F = 3,884$ ,  $p = 0,029$ , MMP-9:  $F = 3,783$ ,  $p = 0,032$ ) (fig. 5).

### A técnica de immunoblotting revelou os níveis de expressão proteica das MMPS no carcinoma hipofaríngeo

As expressões proteicas de MMP-2 e MMP-9 foram analisadas com o ensaio de western blot. Os resultados mostraram que os níveis de expressão proteica de MMP-2 e MMP-9 eram consistentes com a expressão de mRNA em tecidos de carcinoma hipofaríngeo e pericarcinoma. A expressão proteica de MMP-2 e MMP-9 em tecidos cancerígenos foi maior do que em tecidos de pericarcinoma. Não houve expressão proteica



**Figura 2** Expressão do mRNA de MMP-2 e MMP-9 em tecidos tumorais, tecidos de pericarcinoma e tecidos polipoides de controle obtidos de pacientes com carcinoma hipofaríngeo e pólipo de cordas vocais de pacientes. (A) Expressão representativa de mRNA de MMP-2 e MMP-9 em tecidos tumorais e tecidos de controle polipoides. Os tecidos de câncer mostraram uma expressão de mRNA mais intensa de MMP-2 e MMP-9, mas quase não houve expressão em tecidos polipoides de controle (faixa 1, 1 kb na escada de DNA; faixa 2, tecido de carcinoma; faixa 3, tecido polipode de controle). (B) Expressão representativa de mRNA de MMP-2 e MMP-9 em tecidos tumorais e tecidos de pericarcinoma. Os tecidos cancerígenos mostraram uma expressão de mRNA com nível mais alto de MMP-2 e MMP-9 do que os tecidos de pericarcinoma (faixa 1, 1 kb na escada de DNA; faixa 2, tecido de carcinoma; faixa 3, tecido de pericarcinoma). (C) Intensidade relativa da expressão de mRNA de MMP-2 e MMP-9 em tecidos de carcinoma e de pericarcinoma. Os tecidos de carcinoma exibiram níveis mais altos de expressão de mRNA de MMP-2 e MMP-9 do que os tecidos de pericarcinoma. (\*  $p < 0,05$  e \*\*  $p < 0,01$ ).

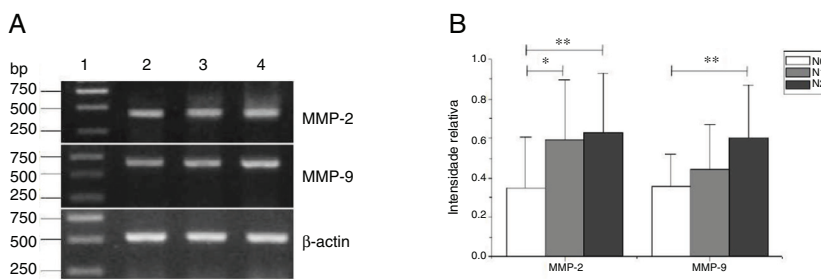


**Figura 3** Expressão de mRNA de MMP-2 e MMP-9 em tecidos tumorais de diferentes estágios clínicos obtidos de pacientes com carcinoma hipofaríngeo. (A) Expressão representativa de mRNA de MMP-2 e MMP-9 em tecidos tumorais de diferentes estágios clínicos. A expressão de MMP-2 e MMP-9 estava mais intensa nos estágios clínicos mais avançados (faixa 1, 1 kb na escada de DNA; faixa 2, pacientes no Estágio I + II; faixa 3, pacientes no Estágio III; faixa 4, pacientes no estágio IV). (B) Intensidade relativa da expressão do mRNA de MMP-2 e MMP-9 em tecidos tumorais de diferentes estágios clínicos. Pacientes em estágio avançado exibiram níveis mais altos de expressão de mRNA de MMP-2 e MMP-9 do que pacientes em estágio inicial (\* $p < 0,05$  e \*\* $p < 0,01$ ).

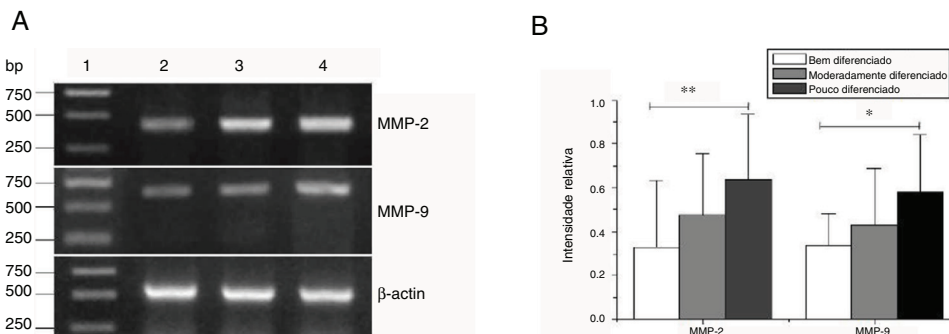
nos pólipos dos tecidos das pregas vocais (tecidos controle). O nível de expressão proteica de MMP-2 e MMP-9 foi significativamente maior nos estágios clínicos do tumor e as metástases dos linfonodos (estadiamento N) mais avançados (fig. 6).

## Discussão

O carcinoma espinocelular da cabeça e pescoço contribui de forma importante para a morbimortalidade mundial. Mais de 500.000 novos casos em todo o mundo são relatados anualmente<sup>1</sup>. Como o trato respiratório superior é o primeiro local de contato com agentes cancerígenos ambientais,



**Figura 4** Expressão de mRNA de MMP-2 e MMP-9 em tecidos tumorais de diferentes estágios N obtidos de pacientes com carcinoma hipofaríngeo. (A) Expressão representativa de mRNA de MMP-2 e MMP-9 em tecidos tumorais de diferentes estágios N. A expressão de MMP-2 e MMP-9 aumentou com o aumento do estágio N (faixa 1, 1 kb na escada de DNA; faixa 2, paciente estágio N0; faixa 3, paciente estágio N1; faixa 4, paciente estágio N2); (B) Intensidade relativa da expressão de mRNA de MMP-2 e MMP-9 em tecidos tumorais de diferentes estágios N. Os pacientes com metástase linfática exibiram níveis mais altos de expressão de mRNA de MMP-2 e MMP-9 do que os pacientes no estágio N0 (\*  $p < 0,05$  e \*\*  $p < 0,01$ ).

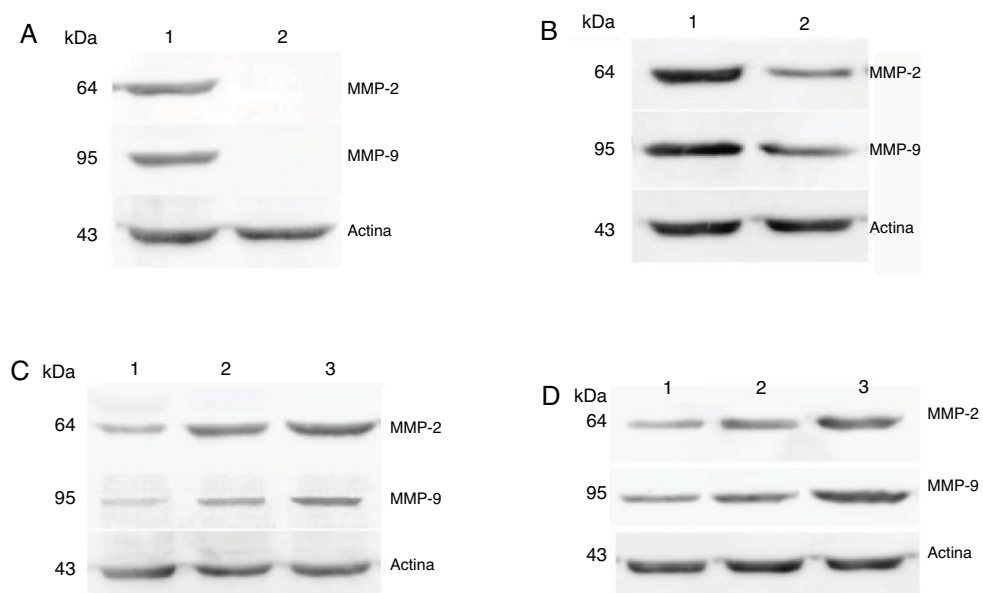


**Figura 5** Expressão de mRNA de MMP-2 e MMP-9 em tecidos tumorais de diferentes estágios histopatológicos obtidos de pacientes com carcinoma hipofaríngeo. (A) Expressão representativa de mRNA de MMP-2 e MMP-9 em tecidos tumorais de diferentes estágios patológicos. A expressão de MMP-2 e MMP-9 foi reduzida com a melhora do grau de diferenciação (faixa 1, 1 kb na escada de DNA; faixa 2, paciente bem diferenciado; faixa 3, paciente moderadamente diferenciado; faixa 4, paciente pouco diferenciado); (B) Intensidade relativa da expressão do mRNA de MMP-2 e MMP-9 em tecidos tumorais de diferentes estágios histopatológicos. Pacientes pouco diferenciados exibiram níveis mais altos de expressão de mRNA de MMP-2 e MMP-9 do que pacientes bem diferenciados (\* $p < 0,05$  e \*\* $p < 0,01$ ).

tais, inclusive certos produtos químicos (fumaça de cigarro ou álcool), poluentes atmosféricos<sup>14</sup> e vírus oncogênicos,<sup>15</sup> provavelmente a incidência de câncer de cabeça e pescoço continuará a aumentar na próxima década.<sup>16</sup> O câncer hipofaríngeo é um carcinoma espinocelular indiferenciado de cabeça e pescoço (CECCP). Representa uma entidade clínica distinta de outros tipos de câncer da região da cabeça e pescoço. É menos prevalente do que outros cânceres de cabeça e pescoço, é responsável por 3% a 5% de todos os CECCP.<sup>17</sup> Geralmente é difícil detectar o carcinoma hipofaríngeo em um estágio inicial devido aos sintomas faríngeos imperceptíveis.<sup>18</sup> Apesar dos consideráveis avanços na terapia multimodal, inclusive cirurgia, radioterapia e quimioterapia, a taxa de sobrevida global para pacientes com CECCP é de apenas 15% a 45%.<sup>2,19</sup> Esses pacientes geralmente se apresentam tardivamente, com 60% a 80% deles com metástase nodal ipsilateral e até 40% com depósitos tumorais nodais ocultos contralaterais na apresentação.<sup>20,21</sup> Na apresentação ou durante o acompanhamento, os pacientes com CECCP geralmente são diagnosticados em estágio tardio e a recorrência local do tumor e as metástases a distância ocorrem com bastante frequência após as terapias convencionais, as quais são a principal causa de baixa sobrevida dos

pacientes.<sup>2,19</sup> Ainda há falta de uma estratégia eficaz para o melhor tratamento<sup>22</sup> e, portanto, os regimes terapêuticos permanecem controversos. Neste estudo, todos os pacientes tinham carcinoma espinocelular; deles, 66,7% apresentavam metástase linfonodal. Dos pacientes, 80,95% encontravam-se em estágio clínico avançado (III-IV); moderadamente diferenciados e pouco diferenciados representavam 71,4% de todos os pacientes. A classificação dos pacientes foi consistente com a literatura relatada anteriormente.

As MMPs desempenham um papel fundamental na remodelação da MEC e estão envolvidas em uma variedade de processos, inclusive inflamação, migração, diferenciação, angiogênese e fibrose. Embora a expressão de algumas MMPs seja considerada constitutiva (MMP-2) ou induzível (MMP-9) no tecido inativo, muitos fatores afetam sua síntese. Portanto, o significado clínico das MMPs, em particular as MMP-2 e MMP-9, tem sido demonstrado em muitas condições patológicas, como neoplasias, doenças autoimunes e inflamação crônica.<sup>23,24</sup> Uma produção aumentada de MMP-2 e MMP-9 parece ser um marcador útil de vários distúrbios autoimunes e neoplasias.<sup>25</sup> Bo et al.<sup>26</sup> observaram que as metaloproteinases de matriz (MMPs) são importantes no desenvolvimento e na expansão de células tumorais



**Figura 6** Expressões proteicas de MMP-2 e MMP-9 em tecidos tumorais e tecidos de pericarcinoma obtidos de pacientes com carcinoma hipofaríngeo. (A) Expressão proteica representativa de MMP-2 e MMP-9 em tecidos tumorais e tecidos de controle polipoides. Os tecidos cancerígenos exibiram uma expressão proteica mais intensa de MMP-2 e MMP-9, mas quase não houve expressão nos tecidos de controle polipoides (faixa 1, tecido tumoral; faixa 2, tecido de controle polipoide). (B) Expressão proteica representativa de MMP-2 e MMP-9 em tecidos tumorais e tecidos de pericarcinoma. A expressão das proteínas MMP-2 e MMP-9 foi maior nos tecidos tumorais do que nos tecidos de pericarcinoma (faixa 1, tecido tumoral; faixa 2, tecido de pericarcinoma). (C) Expressão proteica representativa de MMP-2 e MMP-9 em tecidos tumorais de diferentes estágios clínicos. A expressão proteica da MMP-2 e MMP-9 aumentou com nos estágio clínico mais avançados (faixa 1, pacientes Estágio I+II; faixa 2, paciente Estágio III; faixa 3, paciente Estágio IV). (D) Expressão proteica representativa de MMP-2 e MMP-9 em tecidos tumorais de diferentes estágios N. A expressão proteica de MMP-2 e MMP-9 aumentou com o aumento do estágio N (faixa 1, paciente N0; faixa 2, paciente N1; faixa 3, paciente N2).

em metástases ósseas e osteólise esquelética. A degradação da matriz extracelular pelas MMPs facilita a invasão e proliferação de células tumorais no ambiente metastático.<sup>6</sup> Entre todos os membros das MMPs, as MMP-1, 2, 3, 9 e 13 foram relatadas como correlacionadas com metástases tumorais.<sup>12</sup> Neste estudo, a intensidade da expressão de MMP-2 e MMP-9 foi associada à metástase de linfonodos (estadiamento N) e aumentou com o grau mais avançado de metástase linfática. As MMP-9 e MMP-2 pertencem à família das gelatinases, um dos cinco grupos da família MMP, com base na especificidade de estrutura e substrato.<sup>27</sup> A MMP-2 é secretada pelas células tumorais e intersticiais na forma de um zimogênio e pode degradar especificamente o colágeno IV quando é hidrolisado e ativado. Nossos resultados mostraram que o mRNA e a proteína da MMP-2 foram expressos nos tecidos cancerígenos e de pericarcinoma e a intensidade da expressão no tecido cancerígeno foi显著mente maior do que no tecido de pericarcinoma. A MMP-9 aumenta a metástase das células tumorais, degrada as proteínas de colágeno da MEC após ser ativada por proteases extracelulares em diferentes condições fisiológicas e patológicas. No presente estudo, a expressão do mRNA e da proteína da MMP-9 se apresentou mais aumentada nos estágios histopatológico mais avançados do tumor. Assim, a MMP-2 e a MMP-9 são importantes proteases usadas na invasão e metástase de vários tumores, pela degradação da MEC e da membrana basal.<sup>28</sup> Lee et al. demonstraram que a inibição de MMP-2

e MMP-9 prejudica a capacidade de degradação óssea pela metástase tumoral.<sup>29,30</sup>

## Conclusão

A expressão de MMP-2 e MMP-9 no carcinoma hipofaríngeo foi significantemente maior do que no tecido do pericarcinoma e se apresentou mais aumentada nos estágios clínicos mais avançados do tumor. O nível de expressão foi relacionado à metástase linfonodal e ao estágio histopatológico do tumor. Assim, a MMP-2 e a MMP-9 podem estar envolvidas na ocorrência, no desenvolvimento, na invasão e metástase do carcinoma hipofaríngeo por meio de vários mecanismos. Investigações adicionais são necessárias para determinar os mecanismos exatos. Isso pode fornecer um novo alvo para a terapia direcionada ao carcinoma hipofaríngeo.

## Financiamento

Natural Science Foundation of Shandong Province (número de concessão ZR2018HL011). Projeto de ciência e tecnologia da Shandong Academy of Medical Sciences (número de concessão 2016-16).

## Conflitos de interesse

Os autores declaram não haver conflitos de interesse.

## Referências

1. Siegel RL, Miller KD, Jemal A. Cancer statistics, 2019. *CA Cancer J Clin.* 2019;69:7–34.
2. Chan JY, Wei WI. Current management strategy of hypopharyngeal carcinoma. *Auris Nasus Larynx.* 2013;40:2–6.
3. Wei WI, Chan JYW. Surgical treatment of advanced staged hypopharyngeal cancer. *Adv Otorhinolaryngol.* 2019;83:66–75.
4. Yadav L, Puri N, Rastogi V, Satpute P, Ahmad R, Kaur G. Matrix metalloproteinases and cancer-roles in threat and therapy. *Asian Pac J Cancer Prev.* 2014;15:1085–91.
5. Kessenbrock K, Plaks V, Werb Z. Matrix metalloproteinases: regulators of the tumor microenvironment. *Cell.* 2010;141:52–67.
6. Nannuru KC, Futakuchi M, Varney ML, Vincent TM, Marcusson EG, Singh RK. Matrix metalloproteinase (MMP)-13 regulates mammary tumor-induced osteolysis by activating MMP9 and transforming growth factor-beta signaling at the tumor-bone interface. *Cancer Res.* 2010;70:3494–504.
7. Dumont N, Bakin AV, Arteaga CL. Autocrine transforming growth factor-beta signaling mediates Smad-independent motility in human cancer cells. *J Biol Chem.* 2003;278:3275–85.
8. Hatfield KJ, Reikvam H, Bruserud Ø. The crosstalk between the matrix metalloprotease system and the chemokine network in acute myeloid leukemia. *Curr Med Chem.* 2010;17:4448–61.
9. Cauwe B, Van den Steen PE, Opdenakker G. The biochemical, biological, and pathological kaleidoscope of cell surface substrates processed by matrix metalloproteinases. *Crit Rev Biochem Mol Biol.* 2007;42:113–85.
10. Klein T, Bischoff R. Physiology and pathophysiology of matrix metalloproteinases. *Amino Acids.* 2011;41:271–90.
11. Egeblad M, Werb Z. New functions for the matrix metalloproteinases in cancer progression. *Nat Rev Cancer.* 2002;2:161–74.
12. Scherer RL, McIntyre JO, Matrisian LM. Imaging matrix metalloproteinases in cancer. *Cancer Metastasis Rev.* 2008;27:679–90.
13. Chen XM, Xu XQ, Sun K, Hallett WH, Zhao JD, Zhang DL. NKG2D ligands expression and NKG2D-mediated cytotoxicity in human laryngeal squamous carcinoma cells. *Scand J Immunol.* 2008;67:441–7.
14. Wong IC, Ng YK, Lui VW. Cancers of the lung, head and neck on the rise: perspectives on the genotoxicity of air pollution. *Chin J Cancer.* 2014;33:476–80.
15. Chaturvedi AK, Engels EA, Pfeiffer RM, Hernandez BY, Xiao W, Kim E, et al. Human papillomavirus and rising oropharyngeal cancer incidence in the United States. *J Clin Oncol.* 2011;29:4294–301.
16. Ngan HL, Wang L, Lo KW, Lui VWY. Genomic Landscapes of EBV-Associated Nasopharyngeal Carcinoma vs HPV-Associated Head and Neck Cancer. *Cancers.* 2018;E210, 10.
17. Cooper JS, Porter K, Mallin K, Hoffman HT, Weber RS, Ang KK, et al. National Cancer Database report on cancer of the head and neck: 10-year update. *Head Neck.* 2009;31:748–58.
18. Sasaki CT, Jassin B. Cancer of the pharynx and larynx. *Am J Med.* 2001;111Suppl:S118–23, 8A.
19. Takes RP, Strojan P, Silver CE, Bradley PJ, Haigentz M Jr, Wolf GT, et al. Current trends in initial management of hypopharyngeal cancer: the declining use of open surgery. *Head Neck.* 2012;34:270–81.
20. Gourin CG, Terris DJ. Carcinoma of the hypopharynx. *Surg Oncol Clin N Am.* 2004;13:81–98.
21. Buckley JG, MacLennan K. Cervical node metastases in laryngeal and hypopharyngeal cancer: a prospective analysis of prevalence and distribution. *Head Neck.* 2000;22:380–5.
22. Robson A. Evidence-based management of hypopharyngeal cancer. *Clin Otolaryngol Allied Sci.* 2002;27:413–20.
23. Coussens LM, Fingleton B, Matrisian LM. Matrix metalloproteinase inhibitors and cancer: trials and tribulations. *Science.* 2002;295:2387–92.
24. Liu ZJ, Zhuge Y, Velazquez OC. Trafficking and differentiation of mesenchymal stem cells. *J Cell Biochem.* 2009;106:984–91.
25. Urbanik-Kujda D, Kapelko-Slowik K, Prajs I, Dybko J, Wolowiec D, Biernat M, et al. Increased expression of metalloproteinase-2 and -9 (MMP-2, MMP-9), tissue inhibitor of metalloproteinase-1 and -2 (TIMP-1, TIMP-2), and EMMPRIN (CD147) in multiple myeloma. *Hematology.* 2016;21:26–33.
26. Liu B, Cui J, Sun J, Li J, Han X, Guo J, et al. Immunolocalization of MMP9 and MMP2 in osteolytic metastasis originating from MDA-MB-231 human breast cancer cells. *Mol Med Rep.* 2016;14:1099–106.
27. Slattery ML, John E, Torres-Mejia G, Stern M, Lundgreen A, Hines L, et al. Matrix metalloproteinase genes are associated with breast cancer risk and survival: The Breast Cancer Health Disparities Study. *PLoS One.* 2013;8:e63165.
28. McCawley LJ, Matrisian LM. Matrix metalloproteinases: they're not just for matrix anymore! *Curr Opin Cell Biol.* 2001;13:534–40.
29. Lee J, Weber M, Mejia S, Bone E, Watson P, Orr W. A matrix metalloproteinase inhibitor, batimastat, retards the development of osteolytic bone metastases by MDA-MB-231 human breast cancer cells in Balb C nu/nu mice. *Eur J Cancer.* 2001;37:106–13.
30. Weber MH, Lee J, Orr FW. The effect of Neovastat (AE-941) on an experimental metastatic bone tumor model. *Int J Oncol.* 2002;20:299–303.